

## بهبود محاسبه اشباع آب در مخازن هیدروکربوری کربناته به کمک داده‌های چاهنگاری و آزمایشگاهی

علی مرادزاده<sup>\*</sup>، یاسر سلیمی دلشاد<sup>۲</sup> و عزت‌الله کاظم‌زاده<sup>۳</sup>

<sup>۱</sup> استاد، دانشکده مهندسی معدن، نفت و ژئوفیزیک دانشگاه صنعتی شاهرود، ایران

<sup>۲</sup> دانش‌آموخته کارشناسی ارشد، دانشگاه صنعتی شاهرود، ایران

<sup>۳</sup> استادیار، پژوهشگاه صنعت نفت، تهران، ایران

(دریافت: ۹۰/۰۲/۲۰ پذیرش نهایی: ۹۲/۰۲/۲۴)

### چکیده

یکی از پارامترهای بسیار مهم مخزنی که لازم است با دقت زیاد محاسبه شود، میزان اشباع‌شدگی آب است. روش متداول برای این منظور، استفاده از داده‌های حاصل از نگارهای الکترونیکی متفاوت و به کارگیری روابط مربوط است که در بعضی از موارد دارای دقت لازم نیست. از آنجا که داده‌های آزمایشگاهی حاصل از آزمایش‌های مغزه، دارای دقت زیاد است، در تحقیق حاضر تلاش می‌شود تا با بهره‌مندی از این داده‌ها، روشی بهمودیافته برای محاسبه اشباع‌شدگی آب در عمق‌های متفاوت یکی از مخازن هیدروکربوری کربناته عرضه شود. در این روش با تلفیق داده‌های آزمایشگاهی فشار مؤثینگی، به روش تزریق جیوه و طبقه‌بندی سنگ‌های کربناته با استفاده از مفهوم واحدهای جریان هیدرولیکی و همچنین استفاده ازتابع لورت و ارتباط آن با اشباع آب نرمال شده، میزان اشباع‌شدگی آب در چاه مورد بررسی و در پایان نتایج حاصل از این روش، با مقادیر اشباع‌شدگی آب بدست آمده از نگارهای چاه مقایسه می‌شود. نتایج حاصل و مقایسه آن با مقادیر اشباع‌شدگی حاصل از روش چاهنگاری نشان می‌دهد که با روش معرفی شده می‌توان میزان اشباع‌شدگی آب را در مخازن هیدروکربوری کربناته با خطای کم و دقیق مناسب محاسبه کرد.

واژه‌های کلیدی: فشار مؤثینگی، اشباع‌شدگی آب، واحدهای جریان هیدرولیکی، مخازن هیدروکربوری کربناته

## An improvement of water saturation calculation using well logs and laboratory data in carbonate hydrocarbon reservoirs

Moradzadeh, A.<sup>1</sup>, Salimi Delshad, Y.<sup>2</sup> and Kazemzadeh, E.<sup>3</sup>

<sup>1</sup>Professor, Faculty of Mining, Petroleum and Geophysics, Shahrood University of Technology, Shahrood, Iran

<sup>2</sup>M.Sc. in Mining Exploration Engineering, Shahrood University of Technology, Shahrood, Iran

<sup>3</sup>Assistant Professor, Research Institute of Petroleum Industry (RIPI), Tehran, Iran

(Received: 10 May 2011, Accepted: 14 May 2013)

### Abstract

One of the most important parameters in reservoir characterization is hydrocarbon saturation. It is assumed that all void spaces in a reservoir consist of water and hydrocarbon, therefore:  $Sh = 1 - S_w$ , wherein Sh and Sw are hydrocarbon and water saturation respectively. Since estimation of hydrocarbon saturation is not generally an easy task, it is recommended to determine the water saturation and predict the saturation of hydrocarbon using the above equation. The estimation of this important reservoir petrophysical parameter (i.e.  $S_w$ ) is commonly determined by various electrical and porosity logs using the following formula (Moradzadeh and Ghavami, 2001) for a clean

$$(non shaly) formation: S_w = \left( \frac{a}{\varphi^m} \times \frac{R_w}{R_t} \right)^{\frac{1}{n}}$$

where  $R_t$  is the corrected total electrical resistivity of formation obtained from resistivity logs,  $\varphi$  is porosity of the rock obtained by porosity logs such as sonic or density,  $R_w$  is the water resistivity obtained from self potential (SP) logs or production tests, is a constant which depends on rock type and tortuosity of the fluid path, and  $m$  and  $n$  are unknown cementation and saturation exponents which need to be determined by petrophysical studies using core data of each formation. The value of  $a$  is 0.6 for unconsolidated sandstones, 0.8 for consolidated sandstones and 1 for carbonates (Kamel and Mabrouk, 2002).

The porosity can be quite accurately determined from nuclear or acoustic logs. The uninvaded resistivity  $R_t$  is more difficult to obtain because all resistivity measurements are influenced by the resistivity of nearby layers and by the resistivity of the invaded zone in the immediate vicinity of the borehole wall. Generally,  $R_t$  is calculated through a combination of shallow, medium and deep resistivities from induction or laterolog tools.

Using of this method is not possible in shaly (unclean) and heterogeneous formations. In shaly sands, the presence of clay adds an additional conductivity. This additional conductivity will cause an error in water saturation estimation. In these cases various models of water saturation have been proposed (Worthington, 1985; Kamel and Mabrouk, 2003; Alimoradi, et al., 2011). In carbonate reservoirs, wide range and irregular distribution of pore sizes change the rock conductivity and adversely affects the precision of Archie's formula in  $S_w$  estimation. The effect of pore size and pore distribution in the evaluation of water saturation in these kind of rocks were studied in few research work in which the proposed equation of Lucia (2007) is perhaps the most significant contribution in this regards. As these methods are essentially based on well logs data and some assumption that may not be correct in some real practical cases, so in some situations the results of these methods are not so accurate.

As carbonate rock forms the most prominent hydrocarbon reservoirs in the world and in particular in the Middle East, therefore an accurate water saturation estimation method is highly required. In these reservoir rocks it seems a method based on the core data, hydraulic flow unit concept, capillary pressure and Leverett function which is established for clastic (sandstone) reservoir could be effective to estimate  $S_w$  precisely.

In this paper it is attempt to use a set of high accuracy laboratory core tests data to present an improved method for calculation of water saturation within a carbonate reservoir in the southern part of Iran. This method is implemented in the following 10 steps, once the reservoir carbonate rocks were classified using hydraulic flow units concept.

1. Calculation of J functions by Garrouch (1999) formula for all lab data using permeability ( $k$ ), porosity ( $\varphi$ ) and mercury injection capillary pressure ( $P_c$ ) data of each rock sample as well as surface tension ( $\sigma$ ) and contact angle ( $\theta$ ) of the fluid in lab condition.
2. Calculation of mean hydraulic radius for each core sample (RQI).
3. Plotting Swir from  $P_c$  data against RQI and deriving the best equation. This can be used to predict Swir for any given permeability ( $k$ ) and porosity ( $\varphi$ ) data.
4. Calculation of  $S_w^*$  by normalizing  $S_w$ ;  $S_w^* = (S_w - Swir)/(1 - Swir)$
5. Plotting J function against  $S_w^*$  and deriving equation of the straight line on a log-log plot for each hydraulic unit of the reservoir.
6. Calculation of height above free water level for the reservoir.
7. Calculation of  $P_c$  and then J functions using  $k$ ,  $\varphi$  and values of the reservoir for any

given height above oil-water or gas-oil contact.

8. Determination of  $S_w^*$  from the J versus  $S_w^*$  relationship derived in step 5 and J function values determined in step 7.

9. Calculation of reservoir Sw, using  $S_w^*$  of step 8. ( $Sw = S_w^* \cdot (1 - Sw) + Sw_{ir}$ )

10. Comparison of the calculated Sw (from step 9) with already available log Sw values.

In this study it has been shown how water saturation values within a well are estimated by integration of mercury injection capillary pressure data, classification of carbonate rocks using hydraulic flow units, and also relation between the Levert function and normalized water saturation. The obtained results and its comparison with those of well logs data indicates that the presented method is capable enough to determine water saturation in carbonate hydrocarbon reservoir precisely.

**Keywords:** Well logs, Capillary pressure, Water saturation, Hydraulic flow unit, Hydrocarbon carbonate reservoirs

## ۱ مقدمه

زیر را برای محاسبه اشباع شدگی آب در سازند ماسه سنگی تمیز با داشتن میزان تخلخل ( $\phi$ ) آن عرضه کرد (مرادزاده و قوامی ریابی، ۱۳۸۰):

$$S_w = \left( \frac{a}{\phi^m} \times \frac{R_w}{R_t} \right)^{\frac{1}{n}} \quad (1)$$

که در آن، پارامترهای a، m (ضریب سیمان شدگی) و n (توان اشبعاًی) ثابت‌های مجھول و ناشناخته‌ای برای هر سازند هستند که مقادیر آنها را باید با بررسی‌های پتروفیزیکی و تجزیه و تحلیل مغزه در سازندهای گوناگون به دست آورد (لوتی، ۲۰۰۱؛ تیاب و دونالدسون، ۲۰۰۴). همان‌طور که در رابطه (۱) ملاحظه می‌شود، نگاره‌ای مقاومت ویژه و تخلخل از مهم‌ترین نگاره‌ای مورد استفاده در تعیین اشباع شدگی آب در رابطه تجربی و اساسی آرچی هستند. تخلخل سازند را با دقت قابل قبولی می‌توان از روی نگاره‌ای متفاوت صوتی، چگالی و نوترون به دست آورد اما نگاره‌ای مقاومت ویژه به شدت به حضور شیل و ناخالصی‌های رُس سنگ مخزن و همچنین نوع شاره موجود در سازندها حساس هستند. بررسی‌های صورت گرفته نشان می‌دهد که با حضور درصد کمی از کانی‌های رُسی در سنگ مخزن، درصد اشباع آب

یکی از پارامترهای بسیار مهم مخزنی که لازم است با دقت زیاد محاسبه شود، میزان اشباع شدگی آب ( $S_w$ ) است. اشباع آب با مقادیر آب، نفت و گاز موجود در خلل و فرج مخازن هیدروکربوری در ارتباط مستقیم است. برآورد درست این پارامتر در مدل‌سازی‌های مخزن، نقش مؤثری ایفا می‌کند. هرگونه اشتباه در محاسبه میزان اشباع شدگی آب می‌تواند منجر به از دست دادن زون‌های بهره‌ده نفت شود. اگر در محاسبه اشباع شدگی آب، خطای خاصی رخ دهد، ممکن است برآورد زیاد، در مورد مخزنی با آب اشباع شدگی کم، سبب شود تا آن مخزن بلااستفاده رها شود. عکس این پدیده نیز ممکن است اتفاق بیفتد، بدین صورت که مخزن دارای اشباع شدگی آب زیاد باشد و به علت خطای محاسبه، مقدار آن کمتر برآورد شود و در نتیجه هزینه‌های هنگفتی صرف مخزنی شود که پتانسیل تولید هیدروکربن را ندارد.

معمولًا در مخازن هیدروکربوری، محاسبه اشباع شدگی آب با استفاده از نگاره‌ای چاه و به کارگیری فرمول‌های اشباع شدگی آب، صورت می‌گیرد. (آرچی، ۱۹۴۲) با بررسی تغییرات مقاومت ویژه واقعی مخازن هیدروکربوری ( $R_w$ ) و آب سازندی ( $R_t$ ) رابطه اساسی

اشباع شدگی آب با استفاده از داده‌های چاهنگاری، به عوامل و شرایط گوناگون حساس و با فرضیاتی همراه هستند که در مورد دقت این روش در شرایط گوناگون جای بحث است (بوری، ۱۹۸۵؛ فاکی و مان، ۱۹۸۷). چرا که روابط در اصل برای مخازن ماسه‌سنگی تمیز، عرضه شده است و برای مخازن شیل‌دار و کربناته با فرضیات و اصلاحاتی باید همراه باشد که در صورت اشتباه در فرضیات، قطعاً از دقت کار کاسته خواهد شد. بنابراین می‌توان گفت که محاسبه اشباع شدگی آب در مخازن هیدروکربوری به خصوص مخازن هیدروکربوری کربناته با استفاده از داده‌های چاهنگاری، امری بسیار دشوار و توانای خطا است (لوتی، ۲۰۰۱). در این شرایط به نظر می‌رسد که به کارگیری روش دیگری که مبنای آن استفاده از داده‌های حاصل از آزمایش‌های مغزه، مفاهیم واحدهای جریان هیدرولیکی (Hydraulic Flow Units, HFU) برای محاسبه فشار موئینگی و تابع لورت (Leverett) برای محاسبه اشباع شدگی آب مخازن هیدروکربوری باشد، امری ضروری است.

هدف اصلی این مقاله به کارگیری داده‌های تجزیه و تحلیل مغزه و نگارهای چاه برای معرفی روشهای بهبودیافته در محاسبه اشباع شدگی آب یکی از مخازن هیدروکربوری کربناته جنوب کشورمان است. لازم به ذکر است که این روش در اصل برای مخازن هیدروکربوری ماسه‌سنگی عرضه شده است و تاکنون موردی از استفاده و قابلیت‌های آن برای محاسبه اشباع آب در سنگ‌های کربناته گزارش نشده است. در این روش از راه تلفیق داده‌های آزمایشگاهی فشار موئینگی به روش تزریق جیوه و طبقه‌بندی سنگ‌های کربناته با استفاده از مفهوم واحدهای جریان هیدرولیکی و همچنین استفاده از تابع لورت و ارتباط آن با اشباع آب نرمال شده، میزان اشباع شدگی آب در عمق‌های مختلف مخزن محاسبه می‌شود. همچنین نتایج حاصل شده از این روش،

به کمک فرمول آرچی، به علت کاهش مقاومت ویژه سازنده، بیش از مقدار واقعی به دست می‌آید، لذا به کارگیری رابطه (۱) در این گونه موارد با خطای زیادی همراه خواهد بود (زمنك، ۱۹۸۹؛ لوتی، ۲۰۰۱). به همین دلیل محققان از راههای گوناگون سعی کرده‌اند تا با درنظر گرفتن مجموعه‌ای از فرضیات و لحاظ کردن بعضی از عامل‌های موثر، روابطی را برای محاسبه اشباع آب در سازندهای رُس‌دار عرضه کنند (وکسمن و اسمیت، ۱۹۶۸؛ کلویر و همکاران، ۱۹۷۷؛ سن و همکاران، ۱۹۸۸).

از طرفی پیش‌بینی میزان اشباع آب در مخازن کربناته به علت ناهمگنی پارامترهای پتروفیزیکی، تغییرات گسترده‌اندازه حفره‌های موجود و همچنین ارتباط نداشتن ضرایب آرچی (ضریب سیمان شدگی ( $m$ ) و توان اشباع ( $n$ ) با کانی‌شناسی و حفره‌های موجود در مخزن، همواره امری بسیار دشوار و پیچیده بوده است و همین مسئله باعث می‌شود تا مقادیر اشباع شدگی آب در سنگ‌های کربناته در گستره وسیعی از توان اشباع ( $n$ ) دچار نوسان شود. این در حالی است که طبق آمار منتشر شده، میزان نفت تولیدی جهان، عمدهاً وابسته به سازندهای عظیم کربناته، بتویزه در حوزه‌های نفتی گوناگون خاورمیانه است. به همین علت روشهای که بتواند مقدار این پارامتر پetrofیزیکی را با دقت قابل قبولی در مخازن هیدروکربوری برآورد کند، توجه محققان زیادی را به خود جلب کرده است (الیس و سینگر، ۲۰۰۷). در سنگ‌های کربناته، همانند سازندهای آواری، معمولاً می‌توان از روابط و فرضیاتی که بین درصد اشباع آب با عوامل گوناگونی نظر مقاومت ویژه شاره سازنده، فشار موئینه، نوع سنگ‌شناسی و نفوذپذیری نسبی و تخلخل وجود دارد، از راههای متفاوت برای برآورد اشباع آب استفاده کرد (آلن و همکاران، ۲۰۰۹).

همان‌طور که اشاره شد، پارامترهای لازم برای محاسبه

همکاران (۲۰۰۷) مشابه شاخص‌های کیفیت مخزنی، شاخص شعاع الکتریکی را برای توصیف خواص الکتریکی سنگ‌ها، در واحدهای جریان الکتریکی عرضه کردند.

## ۲ مواد و روش تحقیق

داده‌های مورد استفاده در این تحقیق شامل کشش سطحی و زوایای تماس شاره‌ها در شرایط آزمایشگاهی و مخزنی (جدول ۱)، خواص پتروفیزیکی مثل تخلخل و نفوذپذیری آزمایشگاهی (جدول ۲) و داده‌های فشار مؤینگی برای ۲۳ نمونه کربناته، و همچنین مقادیر اشباع شدگی آب و هیدروکربور در عمق‌های متفاوت و ستون سنگ‌شناسی حاصل از تفسیر نگارهای متفاوت (شکل ۱) چاه A در میدان گازی پارس جنوبی است.

روش کار محاسبه اشباع شدگی آب ( $S_w$ ) در تحقیق حاضر بدین صورت است که داده‌های حاصل از تجزیه و تحلیل مغزه‌ها طبق مراحل زیر مورد پردازش قرار می‌گیرد: ۱- تعیین تعداد واحدهای جریان هیدرولیکی، ۲- محاسبه تابع لورت (J) برای همه نمونه‌ها، ۳- محاسبه اشباع آب کاهش نیافتنی (Swir)، ۴- محاسبه اشباع آب نرمال شده، ۵- به دست آوردن رابطه‌ای بین اشباع آب نرمال شده و تابع لورت، ۶- محاسبه فشار مؤینگی در ارتفاع‌های بالای سطح ایستابی آب، ۷- محاسبه تابع J برای هر ارتفاع بالای سطح ایستابی آب، ۸- محاسبه مقادیر  $S^*$  برای هر ارتفاع بالای سطح ایستابی آب در مخزن، ۹- محاسبه مقادیر  $S_w$  برای هر ارتفاع بالای سطح ایستابی آب در مخزن.

۱-۲ تعیین تعداد واحدهای جریان هیدرولیکی در واقع یک واحد جریان هیدرولیکی زیرمجموعه‌ای از کل گونه‌های سنگ مخزن است که با خواص زمین‌شناسی کنترل کننده جریان شاره سازگار و از سایر

با مقادیر اشباع شدگی آب به دست آمده از چاهنگاری بررسی می‌شود و مورد مقایسه قرار می‌گیرد. رابطه بین فشار مؤینه و اشباع آب را می‌توان در حکم روشهای مستقل از نگارها در برآورده اشباع آب بر حسب عمق (ارتفاع) برای واسنجی کردن اشباع آب به دست آمده از نگارها و یا ارزیابی کیفیت و اشباع شاره‌های سنگ مخزن به کار برد. در این روش به اندازه‌گیری‌های خواص مغزه و داده‌های مربوط به فشار مؤینه نیاز است. مدل‌های متعددی از اشباع- ارتفاع وجود دارد که تابع لورت یکی از این مدل‌ها است و به نحو گسترده‌ای همراه با طبقه‌بندی سنگ مخزن با لحاظ کردن مفهوم جریان هیدرولیکی برای توصیف فضای متخلف به کار می‌رود (گوراج، ۱۹۹۹).

یک واحد جریان هیدرولیکی در حقیقت بخشی از مخزن است که از لحاظ خصوصیات کنترل کننده حرکت شاره و یا به عبارتی خصوصیات هیدرولیکی، با سایر بخش‌های مخزن متفاوت است (آمافیول و همکاران، ۱۹۹۳؛ عباس‌زاده و همکاران، ۱۹۹۶). محققان با استفاده از مفهوم واحدهای جریان هیدرولیکی و به کارگیری نگارهای چاه توانستند تراوایی مخازن ماسه‌سنگی را به خوبی برآورد کنند (فهد و استفن، ۲۰۰۰) و همچنین با به کارگیری این مفهوم و لحاظ کردن داده‌های مغزه، توصیف مخازن کربناته را عملی سازند (شدید و ریاد، ۲۰۰۲). نتایج حاصل توصیف بهتر مخزن را با استفاده از مفهوم شاخص کیفیت مخزنی (Reservoir Quality Index، RQI) نسبت به روش‌های دیگر بیان می‌دارد. علاوه بر آن سودمندی استفاده از مفهوم واحدهای جریان هیدرولیکی در بررسی ارتباط مقاومت ویژه سازندی و تخلخل مخازن کربناته و همچنین بررسی رابطه بین اشباع آب کاهش نیافتنی و شاخص کیفیت مخزن در یکی از مخازن کربناته جنوب ایران نیز مورد بررسی قرار گرفت (کاظم‌زاده و همکاران، ۱۳۸۷ و ۱۳۸۹). رضایی و

كميتي بهنام شعاع هيدروليكي ميانگين ( $r_{mh} = I/2$ ) و تركيب آن با معادله کوزني- کارمن برای بيان ارتباط نفوذپذيری ( $K$ ) و تخلخل موثر ( $\Phi_e$ ) سازندی با شعاع خفات متوسط  $I$  است و به صورت رابطه (۲) عرضه می‌شود:

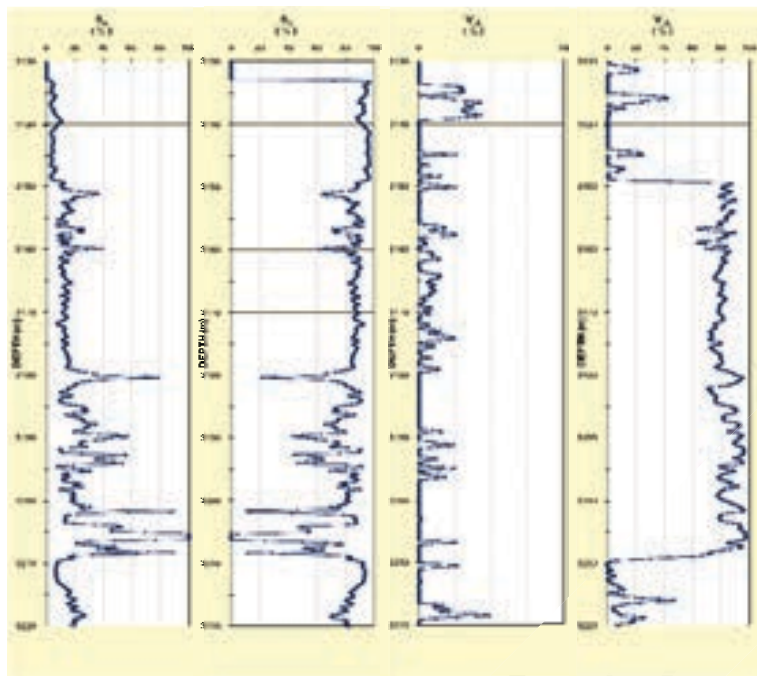
خواص قابل پيش‌بینی است. تياب و همكاران، (۲۰۰۴) و همچين آميفول و همكاران، (۱۹۹۳) روشی را برای تعين و توصيف يك سازند با خواص هيدروليكي مشابه برمبنای اندازه‌گيري‌های ميكروسكوبي مغزه‌های سنگي عرضه کردند. اساس روش عرضه شده برمبنای تعريف

جدول ۱. مقادير کشنش سطحي و زاويه تماس در شرایط آزمایشگاه و مخزن (پژوهشگاه صنعت نفت، ۱۳۸۴).

سامانه	زاويه تماس ( $\theta$ ) درجه	کشنش سطحي ( $\sigma$ ) (dyne/cm)	$\sigma * \cos \theta$
غاز/آب نمک	۰	۵۰	۵۰
غاز/جيوه	۱۴۰	۴۸۰	۳۶۷

جدول ۲. داده‌های پتروفيزيکي حاصل از آزمایش‌های صورت گرفته روی نمونه‌های مغزه (پژوهشگاه صنعت نفت، ۱۳۸۴).

شماره نمونه‌ها	عمق (m)	نفوذپذيری (mD)	تخلخل %	چگالي gr/cm <sup>3</sup>
۱	۲۸۹۶.۱	۱۰.۶۳۹	۱۱.۴۹	۲.۷۵
۲	۲۹۰۱.۱	۴.۸۹۲	۲۹.۰۸	۲.۷۱
۳	۲۹۰۴.۱	۳.۱۱۲	۲۳.۸۷	۲.۶۹
۴	۲۹۲۱.۹	۲۸.۹۸۲	۲۰.۰۴	۲.۸۵
۵	۲۹۲۵.۲	۲.۳۰۳	۱۹.۷۱	۲.۸۶
۶	۲۹۷۰.۲	۱۰.۴۶۵	۸.۷۶	۲.۸۶
۷	۲۹۷۴.۹	۱۷.۷۳۵	۱۲.۸	۲.۸۵
۸	۲۹۸۴.۴	۲۴۷.۷۸	۲۲.۳۳	۲.۸۴
۹	۲۹۸۹.۲	۱۳.۱۵۷	۲۲.۰۹	۲.۷۲
۱۰	۳۰۰۰.۲	۰.۹۶۲	۹.۶۹	۲.۷۲
۱۱	۳۰۱۷.۲	۴۴.۴۸۷	۱۷.۱۹	۲.۸۴
۱۲	۳۰۳۶.۹	۱.۰۹۳	۵.۹۸	۲.۸۶
۱۳	۳۱۳۴.۴	۱.۷۳۵	۱۲.۷۶	۲.۸۴
۱۴	۳۱۳۸.۵	۰.۹۸۵	۱۰.۱۷	۲.۸۶
۱۵	۳۱۴۷.۳	۱.۷۴۱	۲۱.۹	۲.۷۱
۱۶	۳۱۶۰.۴	۵.۰۱۸	۲۱.۳۹	۲.۷۱
۱۷	۳۱۶۲.۹	۱.۸	۲۱.۵۲	۲.۷۱
۱۸	۳۱۶۵.۵	۲.۸۸۸	۱۸.۰۳	۲.۷
۱۹	۳۱۶۸.۲	۱۳.۴۵۹	۲۰.۳۸	۲.۷۱
۲۰	۳۱۷۰.۵	۴۰.۲۴۸	۲۳.۶۵	۲.۷۱
۲۱	۳۱۸۳.۷	۴.۴۰۸	۱۹.۳۱	۲.۶۹
۲۲	۳۱۹۲.۸	۱.۲۲	۱۶.۸۸	۲.۷۲
۲۳	۳۲۰۰.۵	۲.۰۴۶	۲۰.۵۶	۲.۷۱



شکل ۱. نمودار تغییرات مقادیر اشباع شدگی آب و هیدروکربور، میزان شیل و میزان دولومیت حاصل از داده‌های چاه‌پیمایی.

$$RQI = \phi_z \times FZI \quad (4)$$

که با گرفتن لگاریتم از دوطرف معادله (۴) خواهیم

داشت:

$$\log RQI = \log \phi_z + \log FZI \quad (5)$$

نمودار تغییرات RQI بر حسب  $\phi_z$  در یک مقیاس لگاریتمی کامل، خطی مستقیم با شیب واحد برای مخازن تمیز خواهد بود که محل تقاطع این خط مستقیم در  $\phi_z = 1$  مقدار شاخص منطقه‌ای جریان (FZI) هر واحد جریان هیدرولیکی را نتیجه می‌دهد. نمونه‌هایی از داده‌های مغذه که روی چنین خط راستی قرار می‌گیرند ویژگی منافذ (گلوگاه) مشابهی دارند و بنابراین یک واحد هیدرولیکی جریان را شکل می‌دهند. این در حالی است که دیگر نمونه‌های با مقادیر متفاوت FZI روی سایر خطوط موازی یا در دیگر واحدهای هیدرولیکی جریان قرار می‌گیرند.

با توجه به موارد فوق برای هر واحد جریانی در اصل باید یک مقدار FZI وجود داشته باشد، ولی به سبب

$$K = \frac{\phi_e^3}{(1-\phi_e)^2} \times \frac{1}{F_S \tau^2 S_{gv}^2} \quad (2)$$

که در آن،  $K$  تراوایی بر حسب  $F_S$ ،  $\mu m^2$ ، فاکتور شکل،  $\tau$  پیچایی مسیر شاره،  $F_S \tau^2$  ثابت کوزنی و  $S_{gv}$  سطح ویژه بر واحد حجم دانه‌های سنگ هستند. با تقسیم دوطرف رابطه فوق بر  $\phi_e$  و گرفتن جذر آنها رابطه ساده‌تری را می‌توان به صورت زیر به دست داد:

$$0.0314 \sqrt{\frac{K}{\Phi_e}} = \left[ \frac{\Phi_e}{1-\Phi_e} \right] \frac{1}{\sqrt{F_S \tau^2 S_{gv}^2}} \quad (3)$$

که در آن،  $K$  بر حسب میلی‌دارسی ( $mD$ ) است و عدد ثابت  $0.0314$  برای تبدیل واحد  $K$  از  $\mu m^2$  به میلی‌دارسی آورده شده است.

با معرفی شاخص منطقه‌ای جریان (Flow Zone Indicator, FZI)، شاخص کیفیت مخزنی (RQI) و نسبت حجم فضای منفذ به حجم خمیره سنگ یا نسبت پوکی (۳) رابطه  $\phi_z = \phi_e / (1 - \phi_e)$  به صورت زیر در می‌آید:

هزینه‌های بسیار زیاد و یا ممکن نبودن تهیه مغزه در بعضی نقاط از چاه نمی‌توان از این روش در تعیین Swir استفاده کرد. بهمین سبب در این تحقیق سعی شد از روشی دیگری برای تعیین Swir، با استفاده از سایر پارامترها (Ø و K) در نقاط دیگر چاه استفاده شود. بدین منظور ابتدا رابطه بین اشباع آب کاهش نیافتنی و شاخص کیفیت مخزن در هر واحد جریان هیدرولیکی به دست می‌آید و سپس میزان Swir مخزن (با داشتن مقادیر K و Ø مخزن) پیش‌بینی می‌شود.

قبل از اینکه داده‌های فشار موئینه حاصل از تزریق جیوه را بتوان برای مخزن به کار برد، داده‌ها باید از سامانه هوا/جیوه آزمایشگاه به سامانه هیدرولیکی آب شور مخزن تبدیل شوند. این عمل با معادله زیر به انجام رسید (هسلر و برونر، ۲۰۰۷).

$$P_{C_{res}} = P_{C_{lab}} \cdot \frac{(\sigma \cdot \cos \theta)_{res}}{(\sigma \cdot \cos \theta)_{lab}} \quad (7)$$

که در آن، مقادیر  $\theta_r$  و  $\theta_l$  به ترتیب زاویه تماس سامانه‌های هیدرولیکی آب شور، سنگ در مخزن و هوا/جیوه، سنگ در آزمایشگاه و همچنین  $\sigma_r$  و  $\sigma_l$  به ترتیب کشش‌های سطحی سامانه‌های هیدرولیکی آب شور و هوا/جیوه هستند.

مقادیر اشباع آب، از کم کردن میزان اشباع جیوه در هر مرحله از آزمایش تزریق جیوه از عدد ۱۰۰ به دست خواهد آمد. با رسم نمودار  $P_C$  در برابر  $Sw$  میزان Swir هر نمونه به دست آمد. اشباع آب کاهش نیافتنی برای هر نمونه عبارت است از اشباعی که در آن، منحنی پیش‌گفته، مجانب خط قائم شود (شکل ۲).

جدول ۳. مقادیر متوسط شاخص منطقه‌ای جریان (FZI) در هر واحد جریان هیدرولیکی.

۳	۲	۱	واحد جریان هیدرولیکی
۲/۷۰۴	۱/۰۰۹	۰/۴۲۶	FZI مقادیر متوسط

خطاهای موجود در تجزیه و تحلیل مغزه یک توزیع از FZI در محدوده مقدار متوسط واقعی وجود دارد. از این رو برای تعیین دقیق تعداد واحدهای جریان هیدرولیکی در هر مخزن بایستی به طریقی تابع توزیع جداگانه اطراف FZI متوسط را به دست آورد که در این تحقیق نگارندگان مقاله با بهره‌گیری از نتایج دو روش تجزیه و تحلیل بافت‌نگار و مجموع مربع خطأ و با استفاده از نرم‌افزار FZI ماتلاب سه واحد جریان هیدرولیکی با مقادیر متفاوت را مطابق جدول ۳ برای مخزن گازی موردنظر نتیجه گرفته‌اند. جزئیات محاسبه روش‌های فوق در کار تحقیقی دیگر محققان عرضه شده است (کاظم‌زاده و همکاران، ۱۳۸۹).

#### ۲-۲ محاسبه تابع لورت (J) برای همه نمونه‌ها

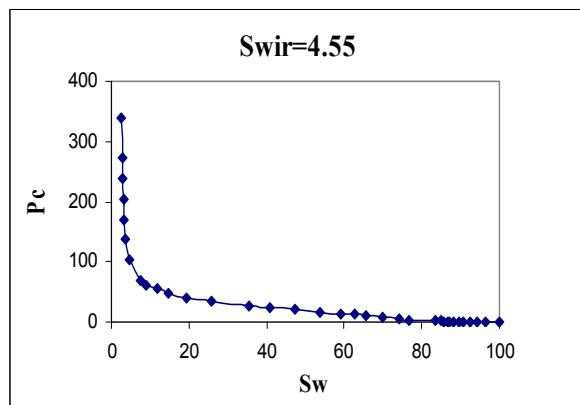
در این مرحله با استفاده از رابطه زیر (گوراج، ۱۹۹۹):

$$J_{sw} = \frac{0.217 P_c}{\sigma \cos \theta} \sqrt{k/\phi} \quad (6)$$

و داشتن مقادیر فشار موئینگی تزریق جیوه ( $P_c$ )، تخلخل ( $\phi$ ) و نفوذپذیری (K) هر نمونه و همچنین زاویه تماس ( $\theta$ ) و کشش سطحی ( $\sigma$ ) شاره‌ها در شرایط آزمایشگاه (جدول ۱)، مقادیر تابع بدون بُعد لورت ( $J_{sw}$ ) برای هر نمونه بر حسب  $P_c$  محاسبه شد.

#### ۳-۲ محاسبه اشباع آب کاهش نیافتنی (Swir)

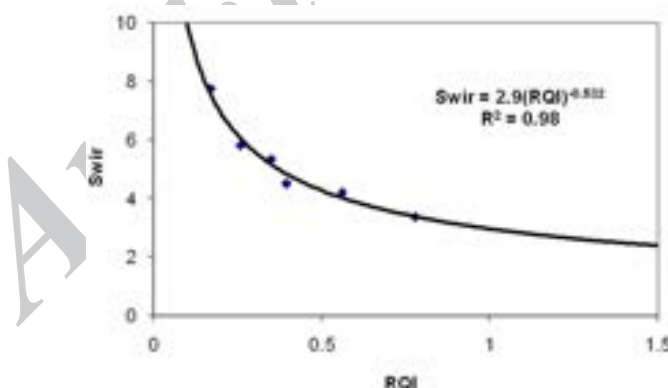
اشباع آب کاهش نیافتنی (Swir) یکی از مهم‌ترین پارامترهای مخازن هیدرولیکی است که در بسیاری از محاسبات و مدل‌سازی‌های تحقیقات مخزن، نقش مؤثری ایفا می‌کند. تعیین Swir به روش‌های گوناگونی نظری آزمایش‌های چاه، استفاده از داده‌های چاهنگاری و آزمایش مغزه صورت می‌گیرد. دقیق‌ترین و البته پُرهزینه‌ترین روش بهمنظور تعیین این پارامتر پتروفیزیکی، اجرای آزمایش مغزه است. اما به علت‌های گوناگونی نظری



شکل ۲. به دست آوردن  $Pe$  برای نمونه شماره ۹ با استفاده از نمودار  $Pe - S_{wir}$ .

(Determination coefficient) بالا بین اشباع آب کاهش نیافتنی و شاخص کیفیت مخزن در واحدهای جریان هیدرولیکی سه گانه مطابق جدول ۴ محاسبه شد. پس از آن با در اختیار بودن مقادیر تراوایی و تخلخل مقدار شاخص کیفیت مخزن هر نمونه به دست آمد و درنهایت با استفاده از رابطه موجود بین  $Swir$  و  $RQI$  برای هر واحد جریان هیدرولیکی اشباع آب کاهش نیافتنی برای هر نقطه عمقی مورد نظر چاه محاسبه شد.

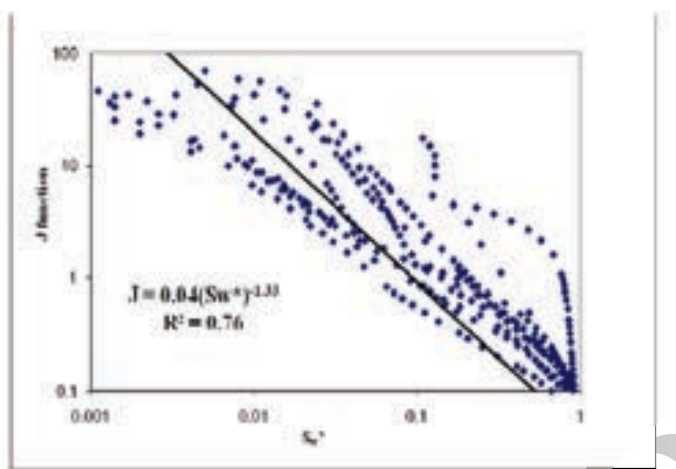
با آزمایش‌های فشار موئینگی به روش تزریق جیوه روی نمونه‌ها و تبدیل آنها به شرایط مخزن، مقادیر اشباع آب کاهش نیافتنی برای هر نمونه مشخص شد. همچنین از آنجاکه مقادیر تخلخل و نفوذپذیری هر نمونه موجود است، یک مقدار  $RQI$  برای هر نمونه محاسبه شد. پس از رسم نمودار جداگانه  $Swir$  بر حسب  $RQI$  برای نمونه‌های هر واحد جریان هیدرولیکی (شکل ۳)، معادلات بهترین توابع برآش شده بر آنها با مقدار ضریب تعیین



شکل ۳. رابطه بین  $Swir$  و  $RQI$  در واحد جریان هیدرولیکی.

جدول ۴. معادلات بهترین توابع برآش شده بین  $Swir$  و  $RQI$  برای هر واحد جریان هیدرولیکی.

واحد جریان هیدرولیکی	رابطه بین $Swir$ و $RQI$	مقدار ضریب تعیین ( $R^2$ )
۲	$S_{wirr} = 2.9(RQI)^{-0.53}$	0.98
۴	$S_{wirr} = 2(RQI)^{-0.66}$	0.87
۱	$S_{wirr} = 2.8(RQI)^{-0.31}$	0.97



شکل ۴. رابطه بین  $S_w^*$  و تابع  $J$  برای واحد جریان هیدرولیکی شماره ۱.

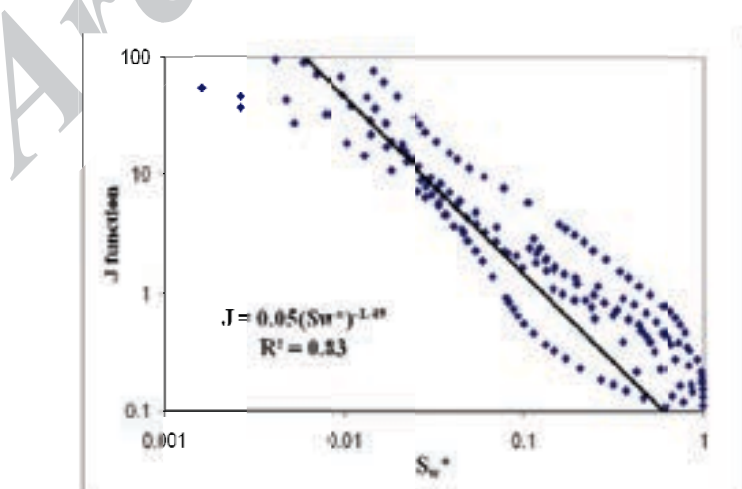
متفاوت محاسبه شد. واضح است که هر دو پارامتر پیش‌گفته، تابع‌هایی از فشار موئینگی هستند، بنابراین رابطه‌ای بین این دو پارامتر در فشارهای موئینگی متفاوت در هر نمونه وجود خواهد داشت. برای به‌دست آوردن رابطه موجود، مقادیر تابع  $J$  را بر حسب اشباع آب نرمال شده نمونه‌های هر واحد جریان هیدرولیکی به صورت مجزا روی یک نمودار لگاریتمی کامل رسم می‌کنیم تا معادله‌ای بین این دو پارامتر در هر واحد جریان هیدرولیکی به‌دست آید. نتایج در شکل‌های ۴ تا ۶ آورده شده است.

#### ۴-۲ محاسبه اشباع آب نرمال شده

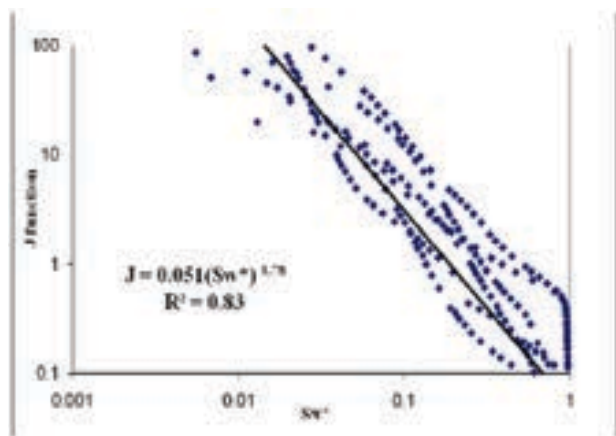
پس از محاسبه اشباع آب کاهش نیافتنی با استفاده از فرمول زیر اشباع آب نرمال شده ( $S_w^*$ ) برای یکایک نمونه‌ها در مقادیر متباوت فشار موئینه محاسبه شد (تیاب و دونالدسون، ۲۰۰۴).

$$S_w^* = \frac{S_w - S_{wir}}{1 - S_{wir}} \quad (8)$$

۵-۲ به‌دست آوردن رابطه بین  $S_w^*$  و تابع لورت همان‌طور که اشاره شد مقادیر تابع لورت و اشباع آب نرمال شده ( $S_w^*$ ) برای هر نمونه در فشارهای موئینگی



شکل ۵. رابطه بین  $S_w^*$  و تابع  $J$  برای واحد جریان هیدرولیکی شماره ۲.



شکل ۶. رابطه بین  $S_w^*$  و تابع  $J$  برای واحد جریان هیدرولیکی شماره ۳.

متری از سطح زمین است. همچنین بر اساس اندازه‌گیری‌های صورت گرفته، مقادیر چگالی آب نمک ۱/۱۰۷ و چگالی هیدروکربور گازی مخزن ۰/۲۶ در نظر گرفته شده است. بنابراین با داشتن اطلاعات پیش‌گفته مقادیر فشار موئینه در نقاط متفاوت چاه به کمک رابطه (۹) محاسبه شد تا در مراحل بعدی استفاده شود.

#### ۷-۲ محاسبه تابع $J$ برای هر ارتفاع بالای سطح ایستابی آب

در این مرحله تابع  $J$  برای نقاط بالای سطح ایستابی آب به کمک رابطه (۶) محاسبه شد. با این تفاوت که در این مرحله:  $(P_c)$ ، فشار موئینگی در شرایط مخزن است که در مرحله ۶ محاسبه شده است.  $K$  و  $\varphi$ ، نفوذپذیری و تخلخل آزمایشگاهی نقاط ارتفاعی موردنظر هستند و  $\sigma$  و  $\theta$ ، کشش سطحی و زاویه تماس سامانه‌های هیدروکربور گازی / آب شور در شرایط مخزن هستند که مقادیرشان در جدول ۱ آمده است.

#### ۸-۲ محاسبه مقادیر $S_w^*$ برای هر ارتفاع بالای سطح ایستابی آب در مخزن

همان‌طور که مشاهده شد در مرحله ۵ در هر واحد جریان

مشاهده می‌شود که برای هر واحد جریان هیدرولیکی معادله‌ای بین  $S_w^*$  و تابع  $J$  با ضریب تعیین بالا به دست آمد.

#### ۲-۶ محاسبه فشار موئینگی در ارتفاع‌های بالای سطح ایستابی آب

فشار موئینه تابعی از ارتفاع بالای سطح آب آزاد (Free Water Level) و تفاوت بین چگالی فاز تر (آب) و فاز غیر تر (هیدروکربور) است که با رابطه زیر بیان می‌شود (برگ، ۱۹۷۰):

$$h = \frac{P_c}{0.433(\rho_w - \rho_{hc})} \quad (9)$$

و در آن،  $P_c$ : فشار موئینه بر حسب psi،  $\rho_{hc}$ : چگالی هیدروکربور ( $g/cm^3$ )،  $\rho_w$ : چگالی آب ( $g/cm^3$ )،  $h$ : ارتفاع بالای سطح آب آزاد (ft) و  $0.433 \text{ psi}/\text{ft}$  برابر شیب آب خالص در شرایط محیط است.

همان‌طور که در رابطه (۹) مشاهده می‌شود برای محاسبه فشار موئینه، داشتن مقادیر چگالی آب و هیدروکربور و همچنین ارتفاع‌های بالای سطح ایستابی آب الزامی است. سطح آب آزاد تعیین شده برای چاه A براساس گزارش شرکت نفت و گاز پارس عمق ۳۲۶۱

یک نقطه عمیقی مشترک مشخص شود. از آنجاکه مبنای ارتفاعی در نظر گرفته شده برای محاسبه اشباع آب در روش مورد بررسی، سطح آزاد آب بوده است، به همین علت از همین نقطه  $FWL = 3261$  متری به متنزه نقطه مبنای مقایسه دو سری از مقادیر فوق استفاده می‌شود.

شکل ۷ چنین مقایسه‌ای را برای چاه موردنظر در زون بهره‌ده مخزن (از عمق ۳۱۴۰ متری تا ۳۲۰۰ متری) نشان می‌دهد.

لازم به ذکر است که برای بازه عمقی مورد مقایسه مقادیر اشباع آب حاصل از نگار چاه برای هر ۱۵ سانتی‌متر موجود است و جمیعاً ۳۹۵ داده وجود دارد. درحالی که برای روش موردنظر فقط ۶۵ داده برای همین بازه عمقی وجود دارد که در مقایسه باید به این نکته توجه شود. همان‌طور که در شکل ۷ مشاهده می‌شود، بین مقادیر اشباع‌های آب به دست آمده از داده‌های آزمایشگاهی و داده‌های چاهنگاری تطابق بهنسبت خوبی وجود دارد. در ضمن جذر میانگین مربع (RMS) خطای مقادیر اشباع حاصل از دو روش کمتر از ۱۰ درصد برای ۶۵ نقطه عمیقی موردنظر است. با وجود این در بعضی از نقاط، بین نتایج دو روش تفاوت‌هایی وجود دارد که علت این مسئله را می‌توان با بررسی نمودار حجم شیل مخزن (شکل ۱) به درصد متفاوت شیل موجود در بخش‌های متفاوت مخزن نسبت داد که به سهم خود روی نگارهای مقاومت و پیزه مورد استفاده برای اشباع آب روش چاهنگاری اثرات نامطلوبی می‌گذارد. از آنجاکه داده‌های مورد استفاده در تحقیق حاضر داده‌های حاصل از آزمایش‌های مغزه بوده است و حضور شیل تاثیری در نتایج این آزمایش‌های ندارد، بنابراین می‌توان گفت که مقادیر اشباع آب به دست آمده از این روش، دقیق‌تر و قابل اعتمادتر است.

هیدرولیکی رابطه‌ای بین تابع  $J$  و  $S_w^*$  به دست آمد که با استفاده از این روابط و با معلوم بودن تابع  $J$  (حاصل از مرحله ۷) مقدار اشباع آب نرمال شده ( $S_w^*$ ) در هر نقطه بالای سطح ایستابی آب مخزن محاسبه شد تا در مرحله بعد برای محاسبه اشباع آب مخزن استفاده شود.

## ۹-۲ محاسبه مقادیر $S_w$ برای هر نقطه ارتفاعی بالای سطح ایستابی آب مخزن

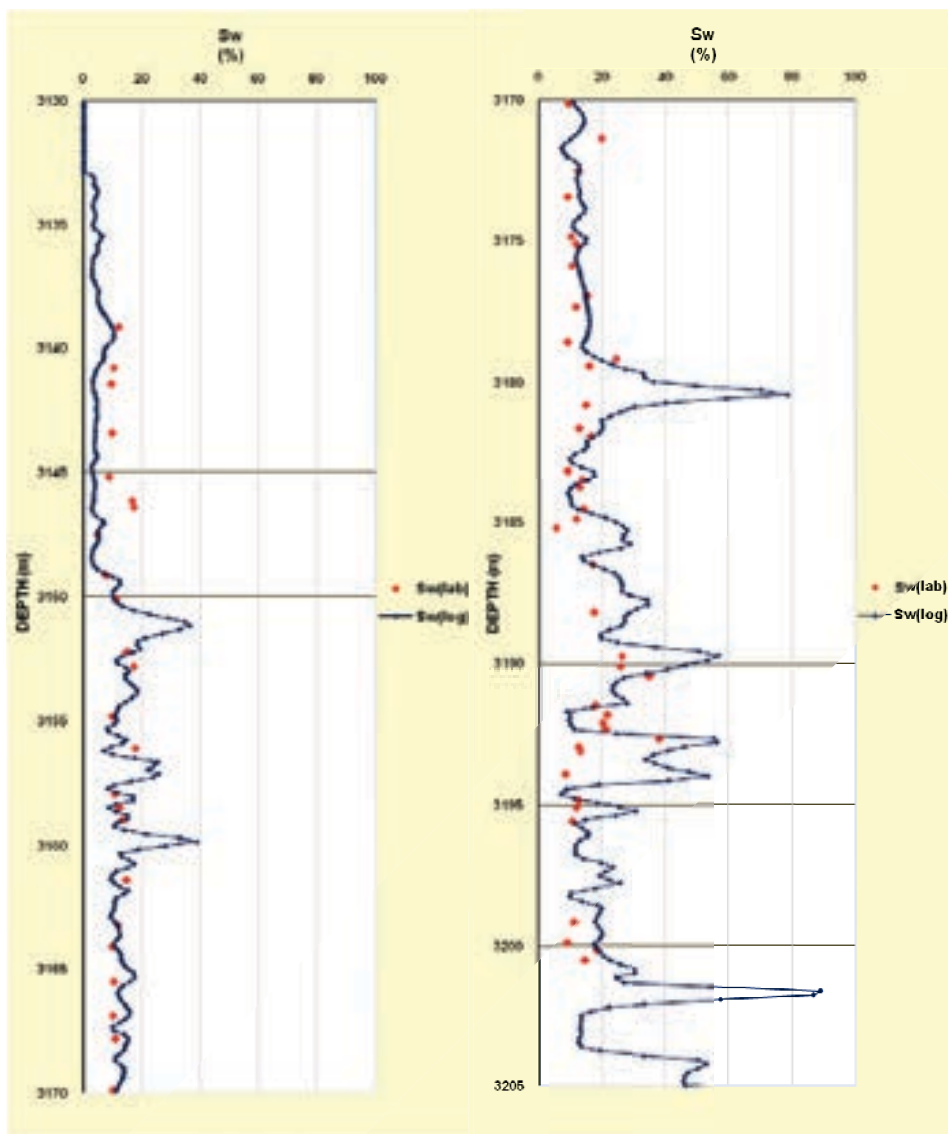
با در اختیار بودن اشباع آب نرمال شده ( $S_w^*$ ) و اشباع آب کاهش نیافتنی (Swir) مقادیر  $S_w$  مخزن در هر نقطه ارتفاعی بالای سطح ایستابی آب به کمک رابطه زیر محاسبه شد (تیاب و دونالدسون، ۲۰۰۴).

$$S_w = S_w^* (1 - \text{Swir}) + \text{Swir} \quad (10)$$

همان‌طور که مشاهده شد با طبقه‌بندی داده‌ها با استفاده از مفهوم واحدهای جریان هیدرولیکی و رسم نمودار RQI بر حسب Swir در هر واحد جریان هیدرولیکی، می‌توان همبستگی این دو پارامتر را به خوبی مشاهده کرد و روابطی با دقت زیاد بین پارامترهای پیش‌گفته به دست آورده. درنهایت با استفاده از رابطه موجود بین Swir و RQI در هر واحد جریان هیدرولیکی، مقدار اشباع آب کاهش نیافتنی برای هر نقطه از چاه محاسبه شد و سپس با در اختیار بودن مقادیر اشباع آب نرمال شده ( $S_w^*$ ) حاصل از مرحله ۸ مقدار اشباع آب در هر نقطه ارتفاعی مخزن به کمک رابطه (۱۰) محاسبه شد.

## ۳ مقایسه مقادیر $S_w$ محاسبه شده، با مقادیر $S_w$ حاصل از چاهنگاری

برای مقایسه مقادیر اشباع آب به دست آمده از این روش، با مقادیر  $S_w$  حاصل شده از داده‌های چاهنگاری بایستی



شکل ۷. مقایسه اشباع آب بدست آمده از روش موردنظر ( $S_{w(\text{lab})}$ ) با اشباع آب حاصل از چاهنگاری ( $S_{w(\text{log})}$ ) در بازه عمقی ۳۱۴۰ تا حدود ۳۲۰۰ متری مخزن موردنظر.

اشباع شدگی آب بدست آمده از نگاره‌های چاه مورد مقایسه قرار گرفت. درنتیجه مشخص شد که روش موردنظر قادر است میزان اشباع آب را با دقت مناسبی و خطایی کمتر از ۱۰ درصد در سراسر زون بهره‌ده مخزن برآورد کند. مقایسه نتایج حاصل از دو روش در جاهایی که درصد ناخالصی شیل موجود مخزن کم است، بسیار خوب است ولی تفاوت دو روش در بخش‌هایی از مخزن که حجم شیل بالا می‌رود افزایش می‌یابد. این مطلب

#### ۴ نتیجه‌گیری

در این مقاله با استفاده از روشی بهبود یافته، با تلفیق داده‌های آزمایشگاهی فشار موئینگی به روش تزریق جیوه و طبقه‌بندی سنگ‌های کربناته با استفاده از مفهوم واحدهای جریان هیدرولیکی و همچنین استفاده از تابع لورت و ارتباط آن با اشباع آب نرمال شده، اولین بار میزان اشباع شدگی آب در عمق‌های متفاوت مخزن کربناته محاسبه شد و در پایان مقادیر آنها با مقادیر

- مغزه (SCAL) چاه A، میدان پارس جنوبی.  
مرادزاده، ع. و قوامی ریابی، ر.، ۱۳۸۰، چاه‌پیمایی برای  
مهندسين، انتشارات دانشگاه صنعتی شاهرود.
- Abbaszadeh, M. R. J., Fujii, H. and Fujimoto, F., 1996, Permeability prediction by hydraulic flow units-theory and applications, SPE Formation Evaluation, 263-271.
- Allen, D., Griffiths, R., Montaron, B. and Ramamoorthy, R., 2009, Improving formation evaluation and reserves estimation, Vol. 9, Middle East & Asia Reservoir Review.
- Amaefule, J. O., Altunbay, M., Tiab, D., Kersey, D. G. and Kedan, D. K., 1993, Enhanced reservoir description: Using core and log data to identify hydraulic (flow) unites and predict permeability in uncored intervals/wells. Presented at 68th Annual Technical Conference and Exhibition Houston, Tx SPE paper No. 26436.
- Berg, R. R., 1970, Method for determining permeability from reservoir rock properties. Trans, GCAGS, 20, 303-309.
- Borai, A. M., 1985, A new correlation for cementation factor in low-porosity carbonates. SPE paper presented at the SPE Annual Technical Conference and Exhibition, Las Vegas, 14401, 22-25.
- Clavier, C., Coates, G. and Dumanoir, J., 1977, Theoretical and experimental bases for the dual water model for interpretation of shaly sands, SPE paper No. 6859, in 52nd Annual Technical Conference and Exhibition, Society of Professional Engineers.
- Ellis, D. V., and Singer, J. M., 2007, Well logging for earth scientists, Second edition, Springer-Verlag Berlin Heidelberg, Germany.
- Fahad, A. A. and Stephen, A. H., 2000, Permeability estimation using hydraulic flow units in a Central Arabia Reservoir, SPE , 63254, 787-799.
- Focke, J. W. and Munn, D., 1987, Cementation exponents in Middle Eastern carbonate reservoirs. SPE paper 13735, SPE Formation Evaluation, 2, 155-167.
- Garrouch, A., 1999, A modified leverett J-function for the dune and Yates carbonate fields, American Chemical Society, Journal of Energy and Fuels, 13, 1021-1029.
- Hassler, G. L. and Brunner, E., 2007, Measurement of capillary pressures in small core samples, SPE, Trans. of the AIME, 160, 114-123, SPE Doc. ID, 945114-G.

احتمالاً به حساسیت ویژه نگارهای مقاومت ویژه مورد استفاده در چاهنگاری برای اشباع شدگی آب مرتبط است. این در حالی است که در روش مورد استفاده چنین نیست. بنابراین می‌توان گفت نتایج حاصل از روش عرضه شده، دقت و قابلیت اعتماد بیشتری نسبت به روش چاهنگاری برای محاسبه اشباع شدگی آب مخازن کربناته دارد. با وجود این پیشنهاد می‌شود که به علت تاهمگنی اغلب مخازن کربناته، در مراحل اولیه با استفاده از داده‌های مغزه حاصل از چاههای متفاوت یک میدان و استفاده از روش‌های محاسباتی هوشمند، شاخص کیفیت مخزن به کمک نگارهای گوناگون با دقت بیشتر برآورد شود و سپس از روش موردنظر با اطمینان بیشتری در محاسبه اشباع آب مورد استفاده قرار گیرد.

### تشکر و قدردانی

تحقیق عرضه شده نتیجه کاری پژوهشی است که نگارندگان با حمایت شرکت نفت و گاز پارس عملی ساخته‌اند و جا دارد مراتب سپاس و تشکر خود را از مسئولان و کارشناسان این شرکت ابراز داریم.

### منابع

کاظم زاده، ع.، سلیمانی دلشداد، ی. و مرادزاده، ع.، ۱۳۸۹، ارتباط اشباع آب کاهش نیافتنی و شاخص کیفیت مخزنی در یکی از مخازن کربناته هیدروکربوری جنوب ایران، مجله علوم دانشگاه تهران، ۴(۳۵)، ۱۸۳-۱۷۳.

کاظم زاده، ع.، نبی بیدهندی، م. و رضایی، م.، ۱۳۸۷، مطالعه مقاومت ویژه سازندی با استفاده از روش واحدهای جریان هیدرولیکی در مخازن کربناته، مجله علوم دانشگاه تهران، ۱(۳۴)، ۲۱-۱۳.

پژوهشگاه صنعت نفت، ۱۳۸۴، گزارش آزمایش‌های ویژه

- Shedid, A. S. and Reyadh A. A., 2002, A new approach of reservoir description of carbonate reservoirs. SPE, **74344**, 1-10.
- Tiab, D. and Donaldson, E. C., 2004, Petrophysics, theory and practice od measuring reservoir rocks and fluid properties, second edition. Gulf Publishing Co.
- Waxman, M. H. and Smits, L. J. M., 1968, Electrical conductivities in oil-bearing shaly sands, J. Soc. Pet. Eng., **8**, 107-122.
- Zemanek, J., 1989, Low resistivity hydrocarbon bearing sand reservoirs. SPEFE, 515-521.
- Luthi, E. M., 2001, Geological well logs, their use in reservoir modeling, Springer-Verlag Berlin Heidelberg, Germany.
- Rezaee, M. R., Motiei, H. and Kazemzadeh, E., 2007, A new method to acquire m exponent and tortuosity factor for microscopically heterogeneous carbonates, Journal of Petroleum Science and Engineering, **56**(4), 241-251.
- Sen, P. N., Goode, P. A. and Sibbit, A. M., 1988, Electrical conduction in clay bearing sandstones at low and high salinities, J. Appl. Physics, **63**, 4832-4840

Archive of SID